

粘土の受働土圧実験

名古屋大学工学部土圧研究施設 正員 市原松平

" " 松沢 宏

名古屋大学大学院

学生員〇平野逸雄

1 まえがき

受働土圧は、矢板壁の根入れ前面や控壁に作用する土圧として設計に用いられている。現在、矢板壁の設計において根入れ前面に作用する受働土圧は Rankine の受働土圧を基本にして算定されているが、Rankine 土圧を使用することの理論的な根拠は乏しい。また、実験的な立場からみても、粘土の受働土圧の特性はあまり解明されていない。筆者らは、室内の大型受働土圧実験装置を用いて、粘土の受働土圧の計測を行った。実験は装置に充填した粘土を圧密し、圧密終了後に吸水膨張させ、その後に壁を変位させた。実験装置は、内法寸法が長さ 2.0m × 幅 2.0m × 深さ 0.75m の軟鋼製（一部強化ガラス観察窓）で、土圧合力の垂直成分 P_n 、接線成分 P_t 、ならびに合力の着力点の壁下端からの高さを計測できるようになっている。

2 使用した粘土と実験方法

実験に使用した粘土は名古屋港金城埠頭の浚渫現場より採取したもので、比重 G_s は 2.63、 $W_L = 81.0\%$ 、 $WP = 40.1\%$ である。自然含水比は 102～107 % であった。

実験は、まず水を加えて十分に練り返した粘土を、図-1 ならびに表-1 に示すように土槽内に充填した。圧密は 2 段階（第 1 段階： $P_c \approx 1.0 \text{ t}/\text{m}^2$ 、第 2 段階： $P_c \approx 3.0 \text{ t}/\text{m}^2$ ）に分けて行った。圧密荷重は 4 本の油圧ジャッキを用いて載荷した。第 2 段階の圧密は、沈下量と可動壁に作用する土圧合力の変化から、粘土が二次圧密状態に入ったと判断されるまで行った。その後圧密荷重を除去して、吸水膨張させた。圧密には約 40 日間を、また吸水膨張には約 10 日間を要した。表-2 には、吸水膨張後の追圧密平衡状態における粘土層の状況を示す。なお、粘土層の充填に先立って、側壁摩擦を軽減するため、グリースを塗つた一辺 5 cm の正方形のビニール膜を側壁に 3 層に張った。また、観察窓の位置のビニール膜には、5 cm × 5 cm の格子模様をペイントで描いておき、壁の変位中にこの格子模様の変形を写真撮影した。粘土層内には可動壁から 20 cm および 50 cm 離れた地点に最大計測圧力が 0.5 kg/cm²、有効径

	TEST-1	TEST-2
粘土層の厚さ D_0 (cm)	55	52
含水比 W_r (%)	98.0-101.9	90.2-100.6
湿潤単位体積重量 γ_r (kg/m ³)	1.44-1.47	1.45-1.48

表-1

	TEST-1	TEST-2
壁高 H (cm)	34.7	33.1
含水比 W (%)	68.1-74.7	67.3-73.1
湿潤単位体積重量 γ_r (kg/m ³)	1.54-1.58	1.58-1.60

表-2

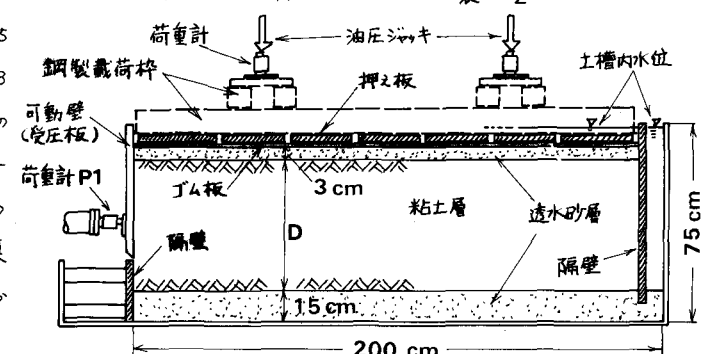


図-1

7.5 cm の間接作用動型土中土圧計を 3 個づつ埋設した。粘土層が過圧密平衡状態に達したのちに、可動壁を粘土側に 12.0 cm 平行移動させて、変位の各位置における土圧を測定した。壁の変位速度は、 4.27 mm/min とした。可動壁の壁位を停止したのち、土圧の減少(土圧回復)を 216 時間にわたって測定した。

土圧回復の測定終了後に、壁変位の影響を受けていないと思われる位置の粘土に対して、一軸圧縮試験と原位置ベースせん断試験を行った。両試験から求めた非排水強度は、 $C_u = \frac{1}{2} g u = 94 \text{ g/cm}^2$, $C_f = 116 \text{ g/cm}^2$ であった。

3. 結果と考察

壁の変位に応じる P_n , P_t , および α/H の値は図-2, 3 に一例を示すような変化を示した。 P_n の値は壁を 12.0 cm 変位させても最大値とともに増大した。 $\log d \times P_n$ の関係は明確に 2 つの直線で表わすことができる。この 2 直線の交点における d の値は図-2 に示して、 $\Delta P_n / \Delta d$ が急速に変化する点(○印)に相当している。この点における壁変位量は、 $d = 0.5 \sim 0.8 \text{ cm}$ ($\alpha/H = 1.5 \sim 2.5 \%$) である。このときの P_n の値は $P_n (d = 12.0 \text{ cm})$ の約 80 % であり、 $\alpha/H = 0.30 \sim 0.35$ である。表-3 は上述したせん断試験結果を用いて計算した、Rankine, Sokolovskii, および複合すべり面法による受働土圧合力と実測値 $P_n (d = 12.0 \text{ cm})$ との比較である。これによると、合力の値は一軸圧縮試験による C_u を用いた複合すべり面法, Sokolovskii 法とよく合っている。図-4 は壁変位中ににおける土圧計の計測値の一例である。この図におけるすべり面は、壁面に作用するせん断力を $\tau = \frac{2}{3} C_u$ と仮定した場合の Sokolovskii 法によるものである。この図より、壁変位による土圧の影響域は計算によるすべり面よりもかなり遠方におよんでいることが明りようである。なお、壁変位を停止させてから、216 時間を経過したときの P_n の値は、壁停止時の 30 % まで減少した。また α/H の値は壁停止時からほとんど変化しなかった。

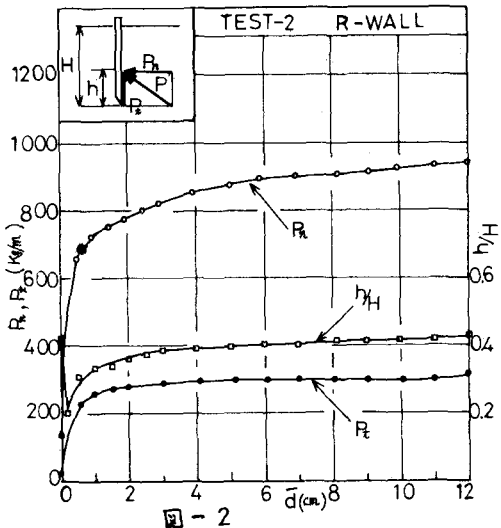


図-2

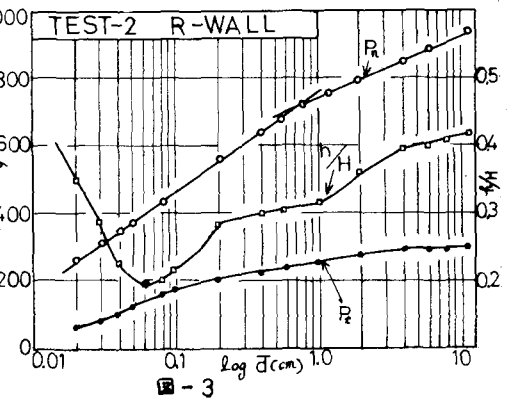


図-3

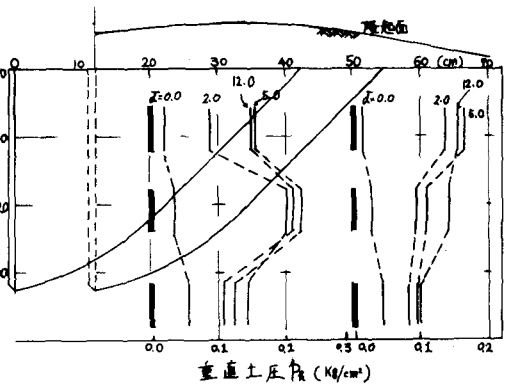


図-4

TEST-1	ベーンせん断試験		一軸圧縮試験	
	計算値	計測値	計算値	計測値
Rankine 法 ($\tau=0$)	899	0.943	746	0.783
複合すべり面法 ($\tau=\frac{2}{3}C_u$)	1082	1.135	917	0.962
Sokolovskii 法 ($\tau=\frac{2}{3}C_u$)	1082	1.135	917	0.962

表-3